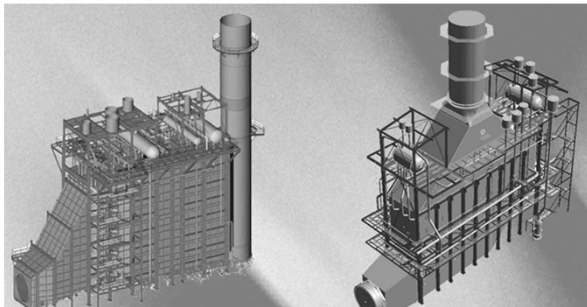


Kotel na odpadní teplo pro PPC



1

Kotel na odpadní teplo pro PPC

Označení

- KNOT (Doc. Kolovratník)
- HRSG = Heat Recovery Steam Generator

Funkce

- dochladit spaliny odcházející z plynové turbíny
- vyrobit páru pro pohon parní turbíny

Dvě základní koncepce

- bez přítápění – pro PPE
- s přítápěním – teplárenské aplikace

2

Zemní plyn

- je nejčastěji užívaným palivem pro pohon plynových turbín
- typické složení a výhřevnost zemního plynu

CH ₄	0,980830
C ₂ H ₆	0,005910
C ₃ H ₈	0,002020
C ₄ H ₁₀	0,000791
C ₅ H ₁₂	0,000212
C ₆ H ₁₄	0,000172
CO ₂	0,001380
N ₂	0,008680
Výhřevnost plynu	35 900 kJ/Nm ³
	46 800 kJ/kg

3

Spalování zemního plynu

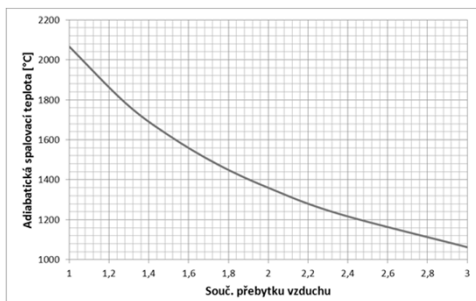
- výsledky stechiometrického výpočtu

	Nm ³ /Nm ³	Nm ³ /kg
Spotřeba vzduchu :		
minimální objem kyslíku	2,0009	2,7401
minimální objem suchého vzduchu	9,5282	13,0792
minimální objem vlhkého vzduchu	9,6418	13,2885
Vzniklé spalin : 		
objem oxidu uhličitého	1,0022	1,3680
objem oxidu siřičitého	0,0000	0,0000
objem dusíku	7,4454	10,2299
objem vzácných plynů	0,0877	0,1205
objem suchých spalin	8,5353	11,7185
objem vodní páry ve spalinách	2,1075	2,9411
objem vlhkých spalin	10,6428	14,6596

4

Spalování zemního plynu

Závislost adiabatické spalovací teploty na součiniteli přebytku vzduchu



5

Spalování zemního plynu

složení spalin na výstupu ze spalovací turbíny

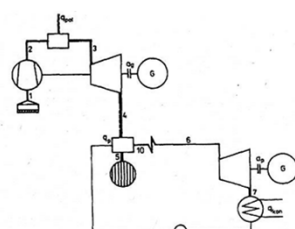
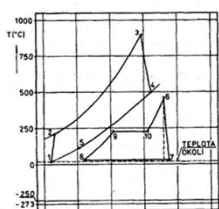
Teplota	550 - 600 °C										
Tlak	max. 0,03500 bar										
Složení	<table> <tbody> <tr> <td>N₂</td> <td>74,59 %vol.</td> </tr> <tr> <td>O₂</td> <td>12,62 %vol.</td> </tr> <tr> <td>CO₂</td> <td>3,73 %vol.</td> </tr> <tr> <td>H₂O</td> <td>8,19 %vol.</td> </tr> <tr> <td>Ar</td> <td>0,87 %vol.</td> </tr> </tbody> </table>	N ₂	74,59 %vol.	O ₂	12,62 %vol.	CO ₂	3,73 %vol.	H ₂ O	8,19 %vol.	Ar	0,87 %vol.
N ₂	74,59 %vol.										
O ₂	12,62 %vol.										
CO ₂	3,73 %vol.										
H ₂ O	8,19 %vol.										
Ar	0,87 %vol.										

obsah O₂ = 12,62 % odpovídá spalování s přebytkem vzduchu ~ 2,35

6

Paroplynový oběh

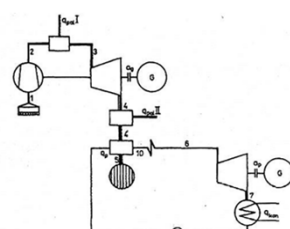
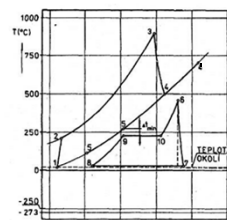
bez přitápění



7

Paroplynový oběh

s přitápěním

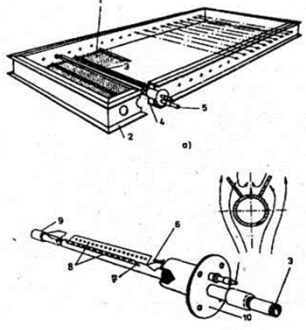


8

Paroplynový oběh

s přitápěním – mřížový hořák bez přívodu vzduchu

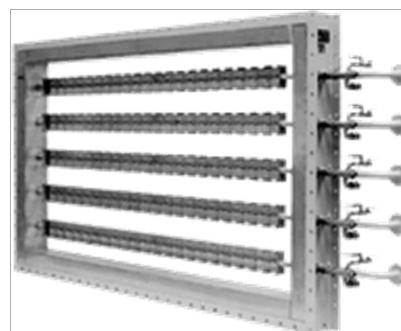
- 1-stabilizační mříž,
- 2-rám,
- 3-hořák,
- 4-izolace,
- 5-přívod paliva,
- 6-zapalovací elektroda,
- 7-palivový otvor,
- 8-stabilizace
- 9-uzávěr



9

Paroplynový oběh

s přitápěním – mřížový hořák



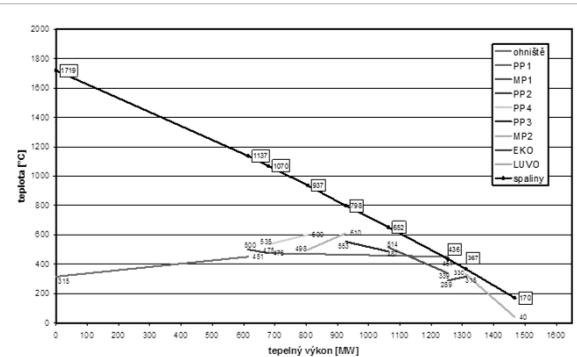
10

Specifika kotle na odpadní teplo

- kotel nemá spalovací zařízení
- rozdíly proti klasickým kotlům jsou
 - výrazně nižší teplotní úroveň spalin v kotli => důsledky
 - nižší parametry páry
 - pokles teplotních spádů na výhřevních plochách
 - použití žebrovaných trubek
 - obvykle vícestlaký systém
 - přísně protiproudé uspořádání a zapojení výhřevních ploch v kotli
 - ryze konvekční charakteristika všech ploch
 - chybí ohřívák vzduchu => horší podmínky pro dochlazení spalin za kotlem

11

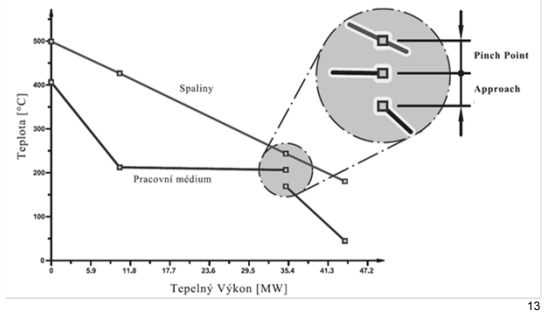
Q-t diagram uhelného kotle



12

Definice pinch pointu a approach

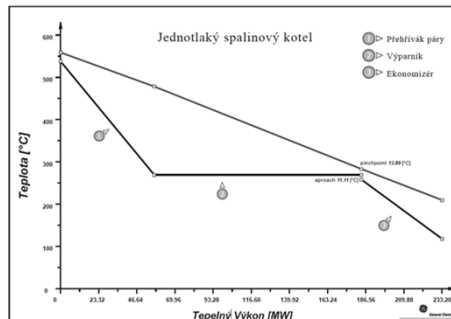
pinch point = koncový teplotní rozdíl
approach = nedohřev



13

Paroplynový oběh

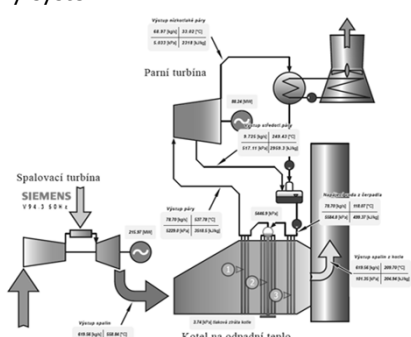
jednotlaký systém



14

Paroplynový oběh

jednotlaký systém



15

Teplotní poměry v HRSG

- určení optimálních teplotních poměrů je složitá úloha
- výsledek je funkcí řešení
 - energetických bilančních rovnic
 - podmínek přenosu tepla ve spalinovém kotli
- do výpočtu vstupuje
 - hmotnostní průtok spalin z plynové turbíny M_s
 - hmotnostní průtok vody vstupující do kotle M_w
 - jejich podíl $y = M_w / M_s$
 - teploty médií v uzlových bodech

16

Tepelná bilance HRSG

$$\begin{aligned} C_p \cdot (t'_4 - t_5) &= y \cdot (i_6 - i_8) \\ C_p \cdot (t'_4 - t'_5) &= y \cdot (i_6 - i_9) \\ C_p \cdot (t'_5 - t_5) &= y \cdot (i_9 - i_8) = \\ &= y \cdot C_w \cdot (t_9 - t_8) \end{aligned}$$

současně musí platit

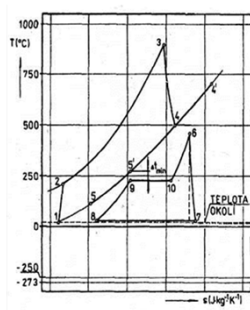
$$(t_5 - t_8); (t'_5 - t_9); (t_4 - t_6) > \Delta t_{min}$$

■ Δt_{min} má rozhodující vliv na velikost výhrevných ploch

■ Δt_{min} se volí 5 až 40 °C

■ teplota t_5

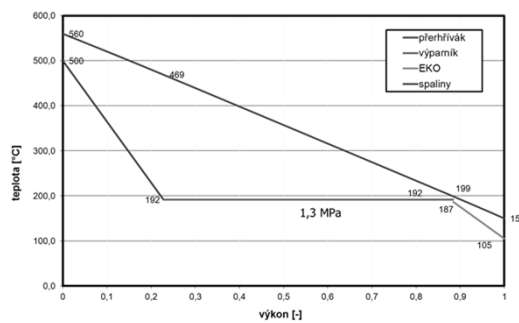
- určuje velikost komínové ztráty, a tedy i účinnosti HRSG
- je funkcí y a Δt_{min}



17

Paroplynový oběh

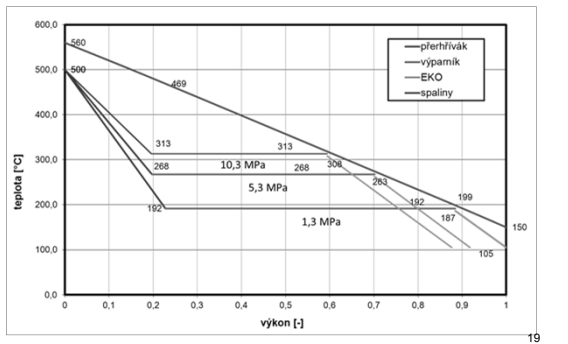
jednotlaký systém



18

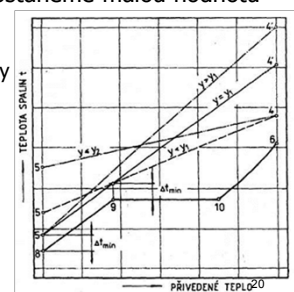
Paroplynový oběh

jednotlaký systém



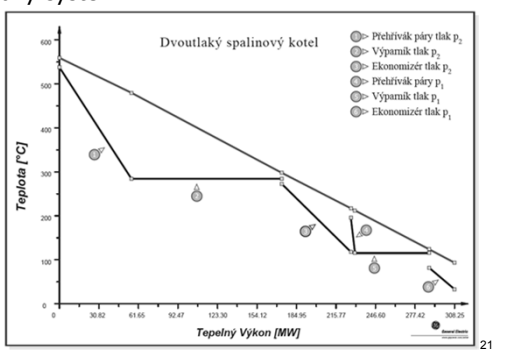
Tepelná bilance HRSG

- při zmenšování y teplota t_5 roste
- při $y = 0$ oběh přechází v oběh spalovací turbíny
- při daných t_4 , y a Δt_{min} dostaneme malou hodnotu komínové ztráty
- v případě jednotlakového systému nízkými parametry parního oběhu – t_9
- použitím dvoutlakového oběhu



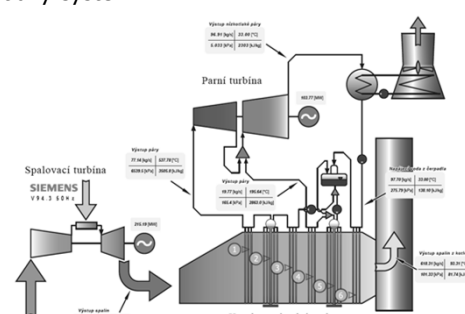
Paroplynový oběh

dvoutlaký systém



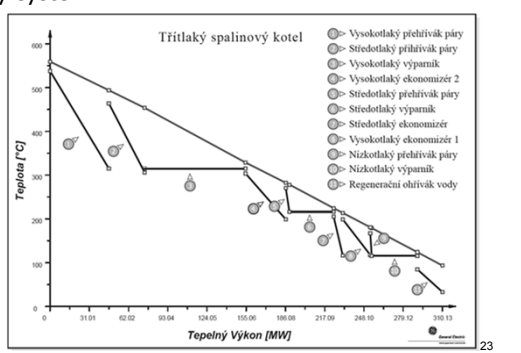
Paroplynový oběh

dvoutlaký systém



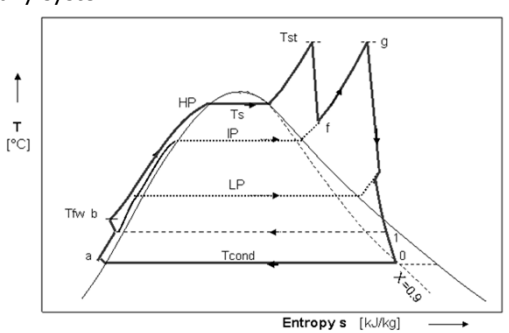
Paroplynový oběh

třítlaký systém



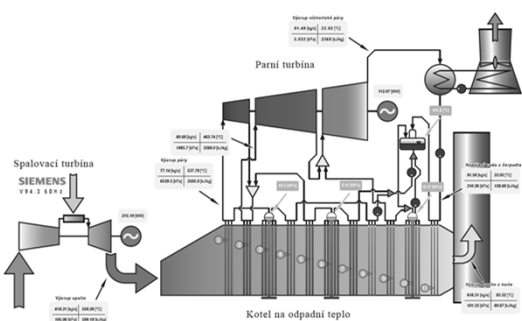
Paroplynový oběh

třítlaký systém



Paroplynový oběh

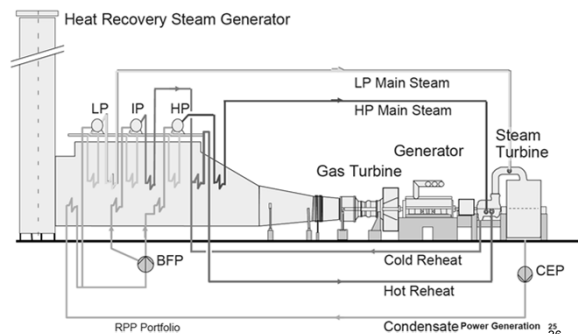
třítlaký systém



25

Paroplynový oběh

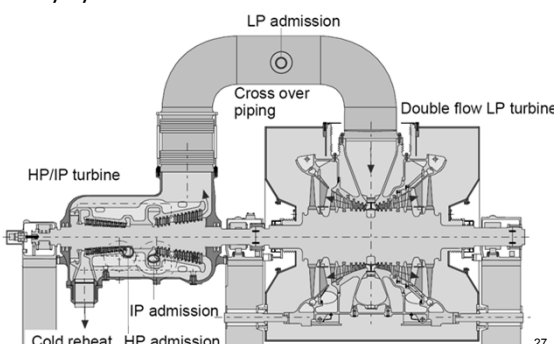
třítlaký systém



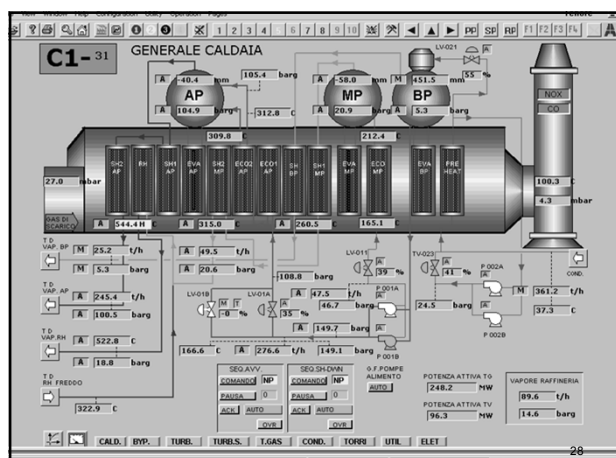
26

Paroplynový oběh

třítlaký systém



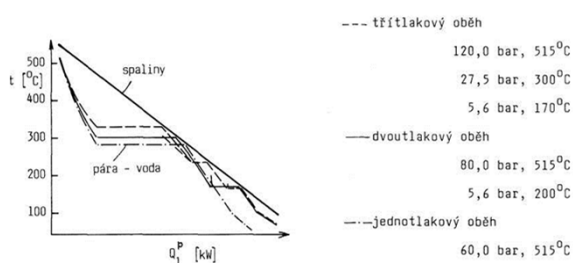
27



28

Paroplynový oběh

porovnání z hlediska parametrů páry



29

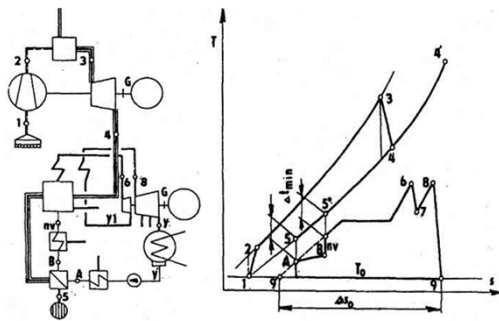
Koncová teplota spalin

- HRSG nemá ohřívák vzduchu
- koncovou plochou kotle je EKO
- při $t_{NW/min} = 105^\circ\text{C}$ by byla koncová teplota spalin příliš vysoká a účinnost kotle nízká
- pro lepší dochlazení spalin se za EKO řadí ještě spalinový regenerační ohřívák napájecí vody, který je zapojen k parnímu regeneračnímu ohřevu
 - sériově
 - paralelně

30

Spalinový regenerační ohřívák

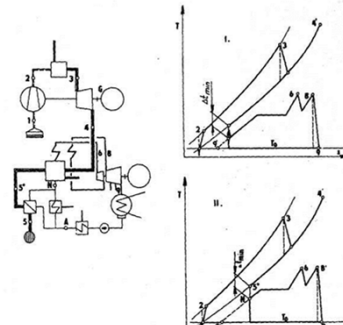
zapojený sériově k parnímu regeneračnímu předehřevu



31

Spalinový regenerační ohřívák

zapojený paralelně k parnímu regeneračnímu předehřevu



32

Účinnost HRSG

- účinnost závisí na
 - vstupní teplotě spalin
 - výstupní teplotě spalin
 - přebytku spalovacího vzduchu
 - velikosti a teplotě povrchu kotle

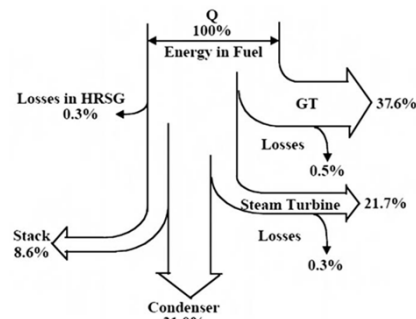
Příklad:

■ vstupní teplota spalin	580 °C
■ výstupní teplota spalin	90 °C
■ přebytek spalovacího vzduchu	2,35
■ ztráta sdílením tepla do okolí	0,5 %
■ účinnost HRSG vztavená k teplu spalin na vstupu	88 %
■ účinnost HRSG vztavená k výhřevnosti plynu	93,5 %
■ účinnost samotného HRSG se obvykle negarantuje a není předmětem přejímacího řízení – garantuje se účinnost PPC	

33

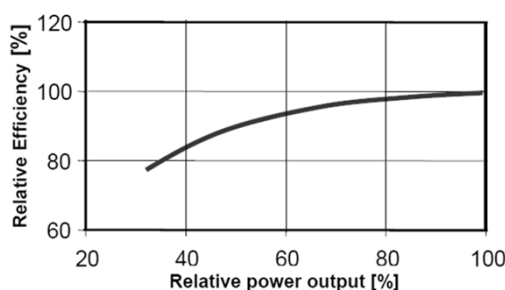
Účinnost HRSG

(vztaženo ke spalnému teplu)



34

Vliv výkonu na účinnost PPC



35

Optimalizace návrhu HRSG

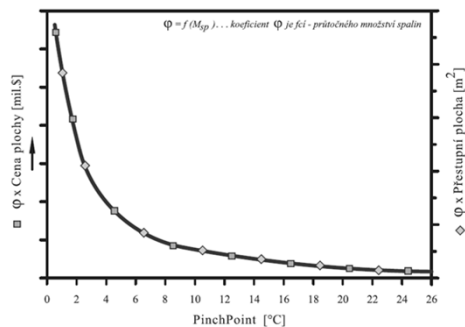
- složitá úloha s velkým počtem stupňů volnosti
- optimalizovanými parametry jsou
 - koncová teplota spalin
 - počet tlakových hladin
 - pinch point a nedohřev na výhřevných plochách
 - dělení a řazení výhřevných ploch

Provádí se pomocí výpočtových softwarů

- Thermoflow (GT PRO)
- Gate Cycle (GE)
- Tempo Cycle (volně šířitelný)

36

Vliv pinch pointu na velikost a cenu plochy



37

Konstrukční provedení HRSG

Konstrukční varianty

- horizontální uspořádání
- vertikální uspořádání

Provedení výparníku

- bubnové s přirozenou nebo nucenou cirkulací
- průtočné

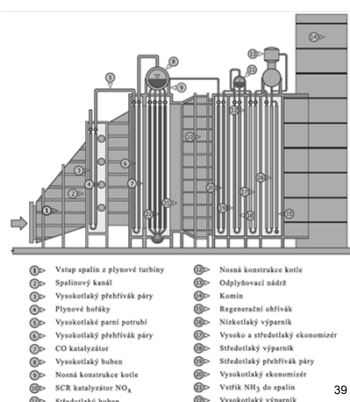
Pracovní tlak

- podkritický
- nadkritický

38

Horizontální HRSG

- výparník s přirozenou cirkulací
- je z technického hlediska jednodušší



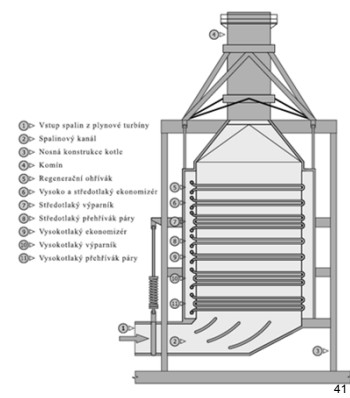
39

Horizontální HRSG



Vertikální HRSG

- výparník s nucenou cirkulací
- vhodné pro případy s prostorovým omezením
- ohyb proudu spalin před vstupem je zdrojem větší nerovnoměrnosti proudění v prvních plochách



41

Vertikální HRSG



Horizontální x vertikální konstrukce

Výhody vertikálního provedení

- menší zastavěný půdorys
- menší velikost kotle z důvodu použití trubek menšího průměru
- menší citlivost na vznik parních zátek v EKU při najíždění

Výhody horizontálního provedení

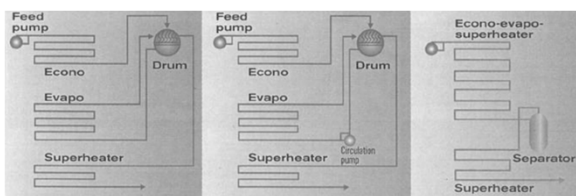
- rovnoměrnější průřezové rozdělení spalin za GT
- přirozená cirkulace nevyžaduje čerpadlo – platí do tlaku 100 bar
- vertikální orientace trubek ve výparníku podporuje cirkulaci v tepelně více zatížených trubkách

Zásadní rozdíl není – výrobci nabízejí obě provedení Celosvětově převažují instalace horizontálních kotlů s přirozenou cirkulací

43

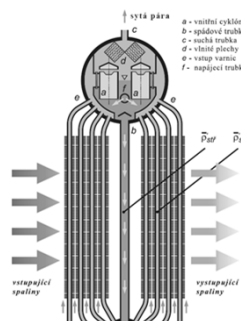
Systém výparníku HRSG

s přirozenou cirkulací s nucenou cirkulací průtočný



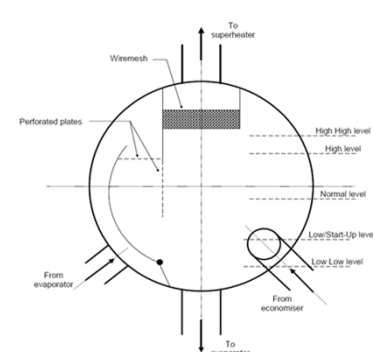
44

Výparník s přirozenou cirkulací



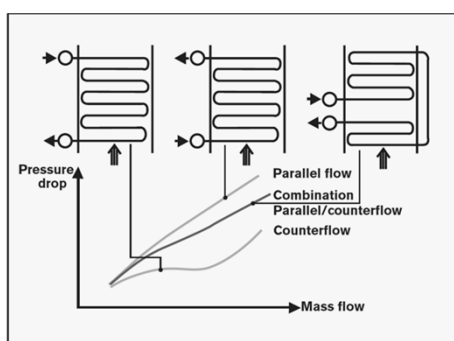
45

Výparník s přirozenou cirkulací



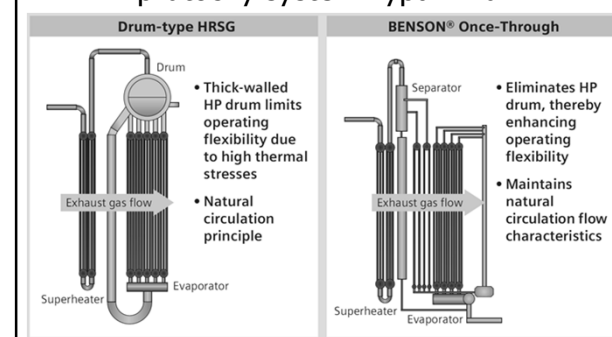
46

Výparník s nucenou cirkulací



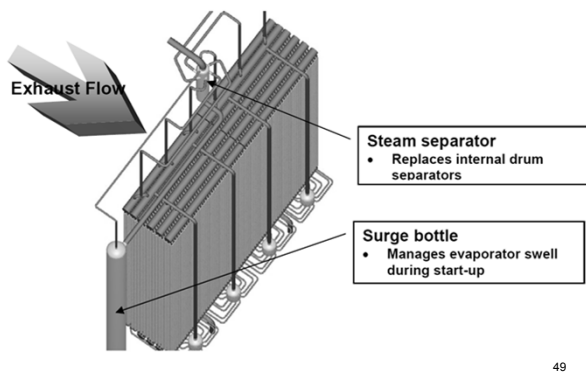
47

Přechod z cirkulačního na Bensonův průtočný systém výparníku



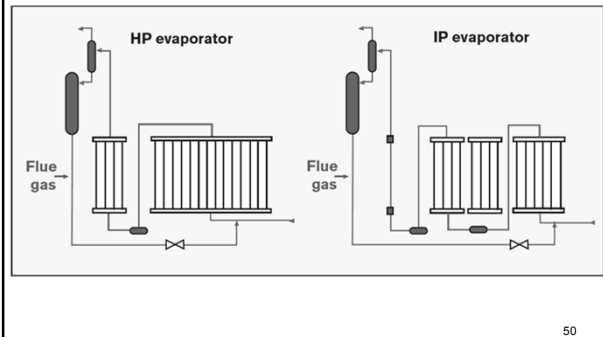
48

Provedení průtočného výparníku



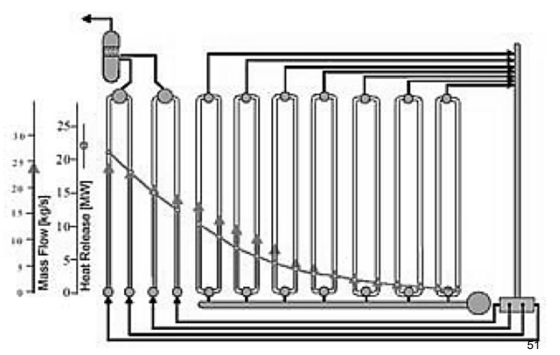
49

Zapojení průtočného výparníku



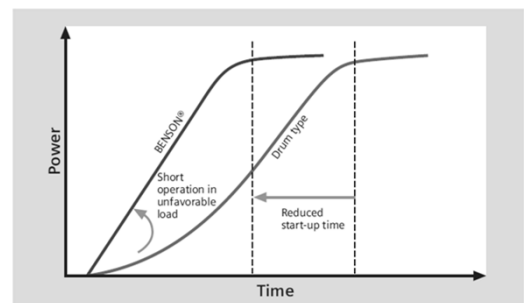
50

Rozložení průtoku a tepelného zatížení na vysokotlakém průtočném výparníku



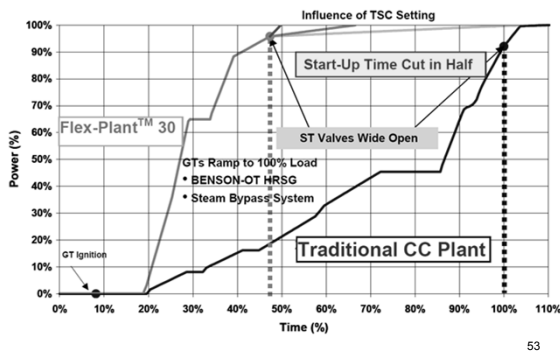
51

Zkrácení doby najízdění u průtočného systému výparníku



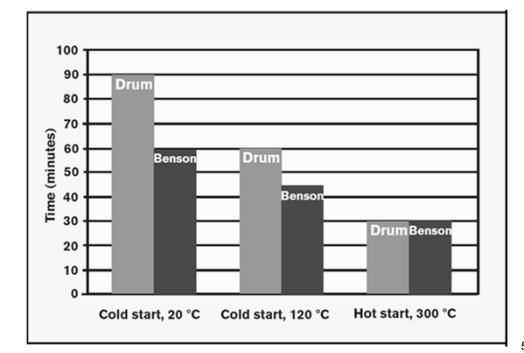
52

Zkrácení doby najízdění u průtočného systému výparníku



53

Zkrácení doby najízdění u průtočného systému výparníku



54

Cirkulační x průtočný výparník

Nevýhody cirkulačního systému výparníku

- vyžaduje buben
- s rostoucím tlakem (nad 100 bar) klesá cirkulační číslo – riziko špatného chlazení trubek
- menší provozní pružnost v důsledku většího vodního objemu

Výhody průtočného systému výparníku

- odpadá buben
- neexistuje tlakové omezení
- zkrácení doby pro najízdění a změnu výkonu

55

Nadkritický HRSG

Podmínka výroby páry s nadkritickým tlakem v HRSG je

- užití průtočného systému výparníku
- vyšší teplota spalin na výstupu z GT

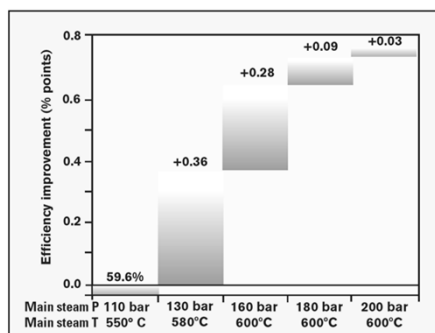
Motivace

- zvýšení účinnosti bloku
- zjednodušení koncepce HRSG

Z pohledu klasických bloků se jedná pouze o mírně nadkritické parametry

56

Vliv parametrů páry na účinnost PPC

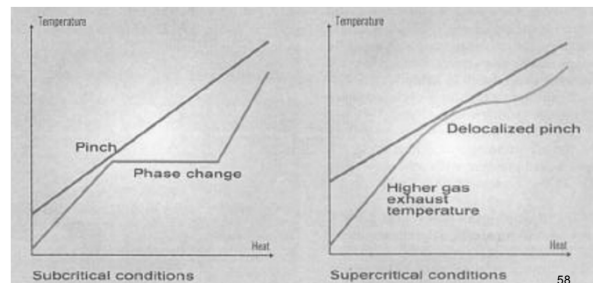


57

Nadkritický HRSG

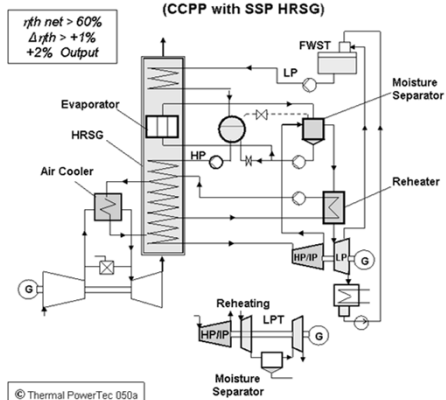
přechodem na nadkritický tlak

- mízí pinch point na začátku výparníku
- roste teplota spalin za VT



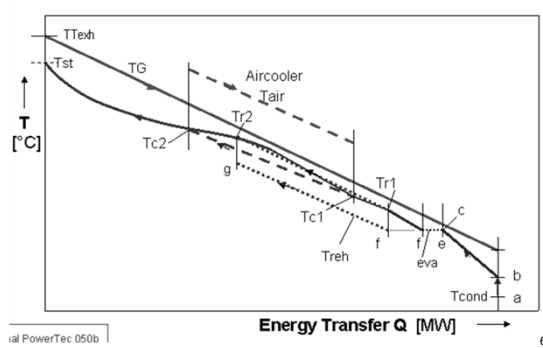
58

New Combined Cycles Power Plant with a single-supercritical-pressure HRSG (CCPP with SSP HRSG)



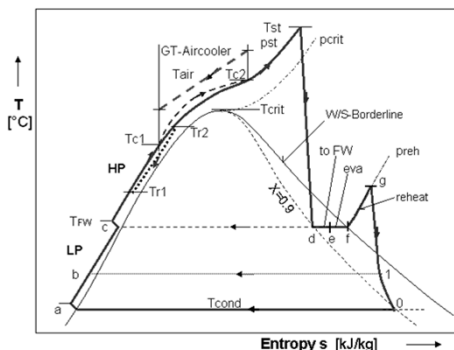
59

Nový jednotlaký nadkritický HRSG



60

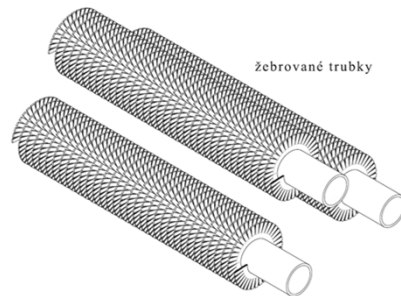
Nový jednotlaký nadkritický HRSG



61

Provedení výhřevních ploch HRSG

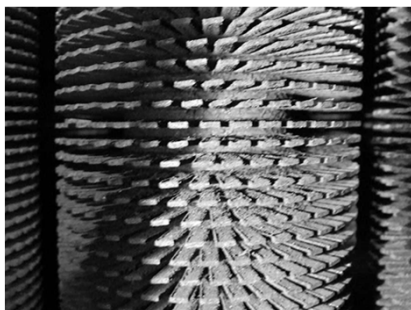
- základním stavebním prvkem je žebrovaná trubka



62

Provedení výhřevních ploch HRSG

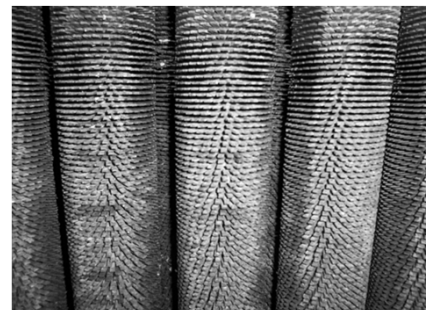
- základním stavebním prvkem je žebrovaná trubka



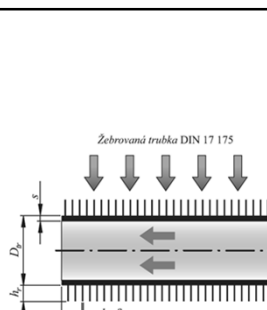
63

Provedení výhřevních ploch HRSG

- základním stavebním prvkem je žebrovaná trubka



64



D_o	s	$b_r \times h - \delta_r$				z
		10x1,3	12x1,3	15x1,3	19x1,3	
16	1,8					
21,3	2					
25	2					
31,8	2,6					
38	3,2					
48,3	3,2					
51	3,2					
57	3,2					
60,3	3,2					
76,1	3,2					
88,9	3,2					
						65

66

Provedení stěn HRSG

Stěny HRSG jsou většinou nechlazené
Dvě možnosti

- studené provedení s vnitřní izolací
- horké provedení s vnější izolací

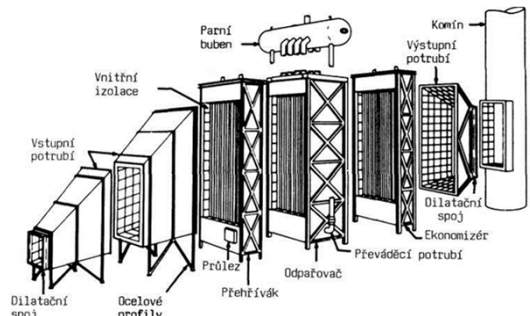
Studené provedení stěn

- výhodné při vysoké teplotě spalin za GT
- běžnější u kotlů s přirozenou cirkulací

Horké provedení stěn

- výhodné při nižší teplotě spalin za GT
- běžnější u vertikálních kotlů
- může trpět korozí na studeném konci

Modulová koncepce HRSG



67

Modulová koncepce HRSG



68

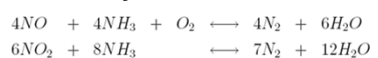
Modulová koncepce HRSG



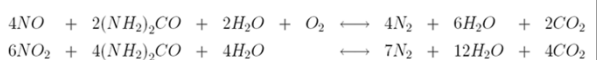
69

DeNOx

- preferovaná metoda SCR
- redukčním činidlem je
 - čpavek – levnější



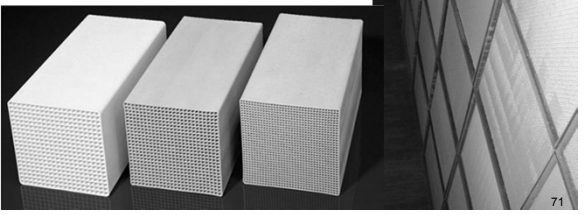
močovina



70

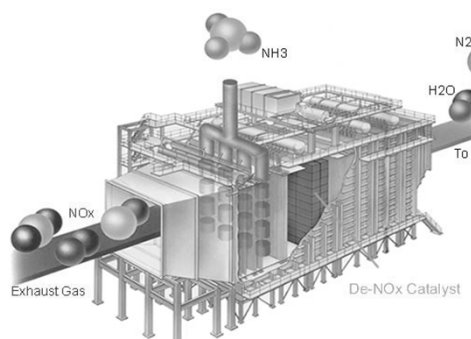
DeNOx

- katalyzátorem jsou
 - oxidy těžkých kovů (Ti, V, W, Mo, Cu, Cr) (300 až 450°C)
 - zeolity – aluminosilikáty (350 až 600°C)
 - oxidy železa s obsahem fosforečnanů železa
 - aktivní uhlí (100 až 220°C)



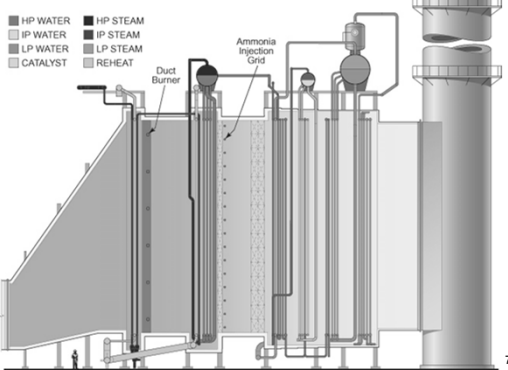
71

DeNOx



72

DeNOx



Provozní rizika HRSG

vysokoteplotní koroze

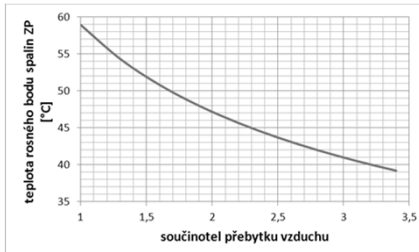
- u ZP při vhodné volbě materiálu riziko malé
- spalování oleje a mazutu
 - riziko vanadové koroze (V_2O_5) na přehřívácích s teplotou nad $500^{\circ}C$
 - riziko sírové koroze v kombinaci s chlorem

74

Provozní rizika HRSG

nízkoteplotní koroze

- u ZP riziko malé – nízká teplota rosného bodu spalin
- riziko roste při spalování sirnatých plynů nebo mazutu



75

Provozní rizika HRSG

zanášení výhřevných ploch

- u ZP riziko malé
- při spalování oleje zanášení žebrovaných trubek – je třeba volit větší rozteč žeber a plochy čistit



76